

FIG. 1

FIG. 20

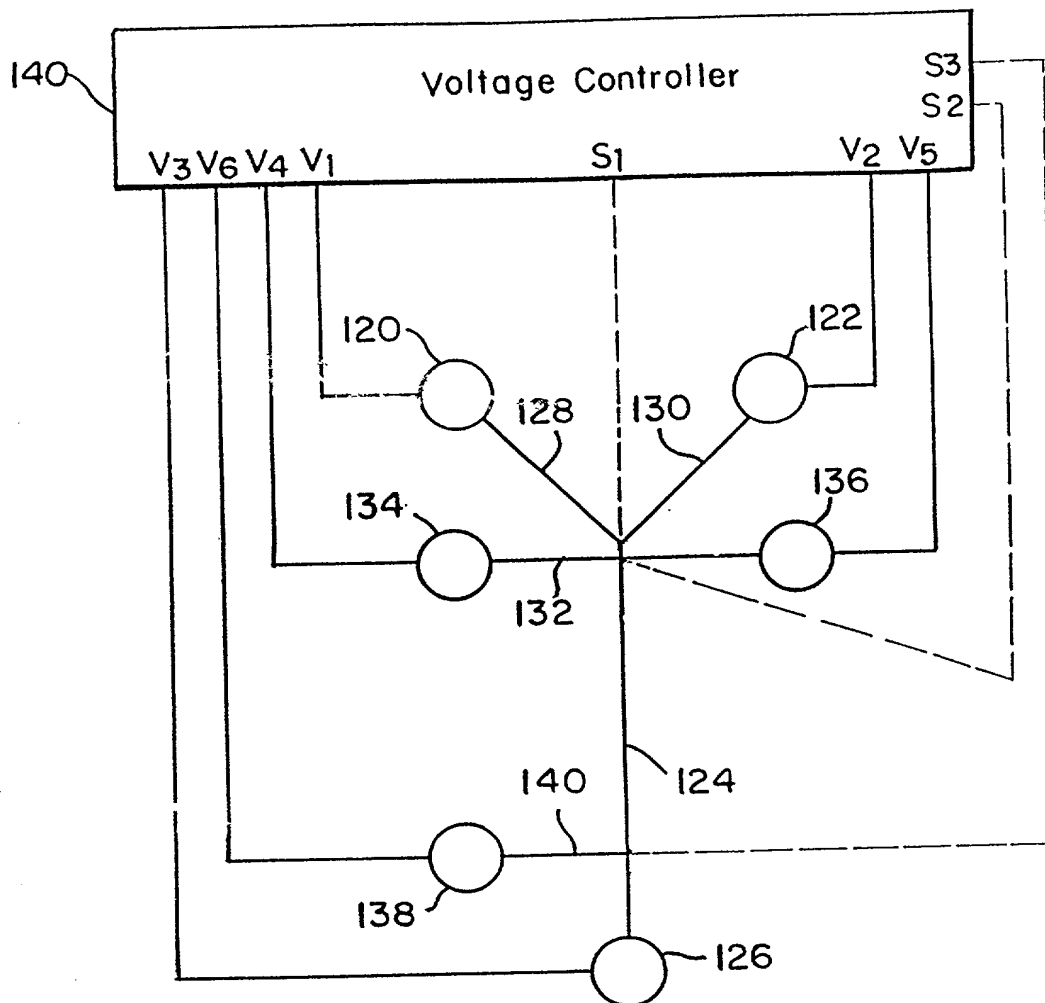


FIG. 20

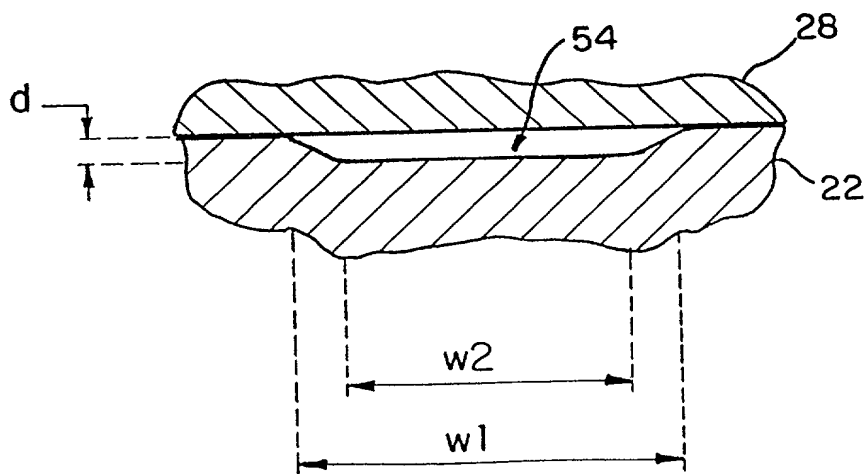


FIG. 2

FIG. 21a

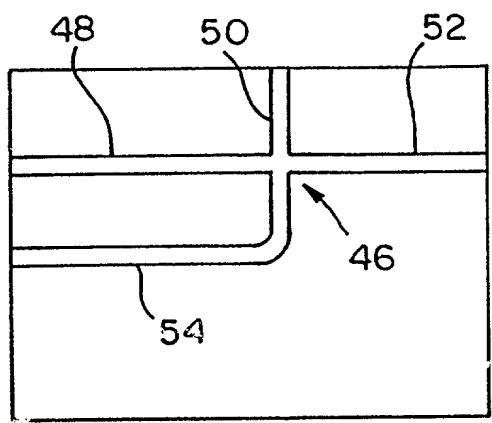


FIG. 3a

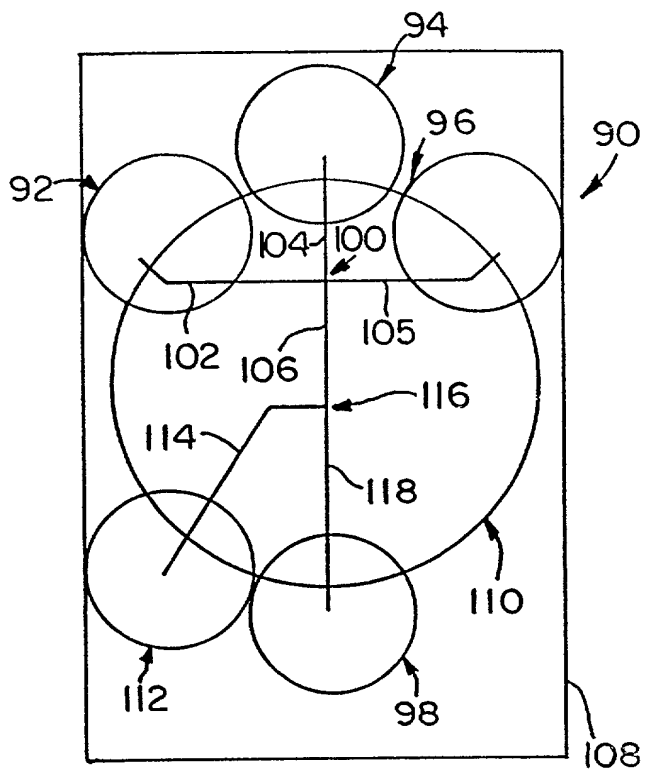
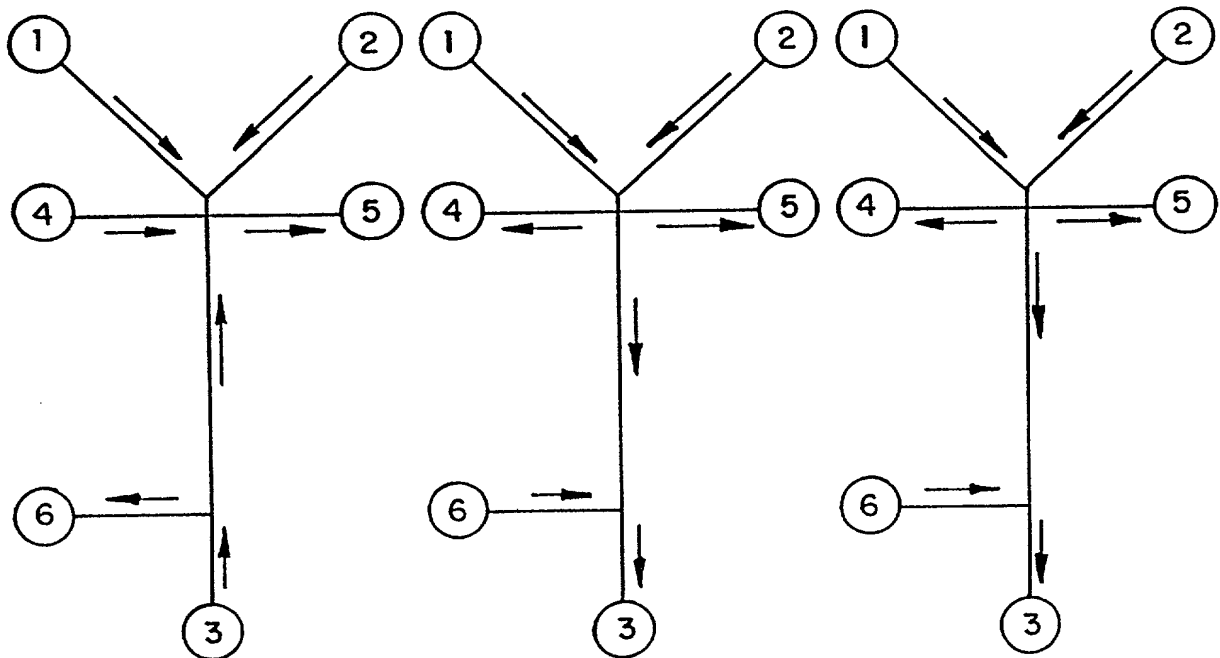


FIG. 16



INJECT
FIG. 21a

RUN (START)
FIG. 21b

RUN (FINISH)
FIG. 21c

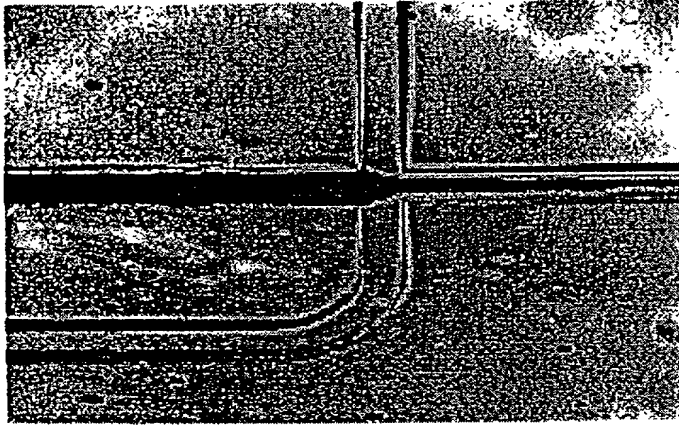


FIG. 3(b)

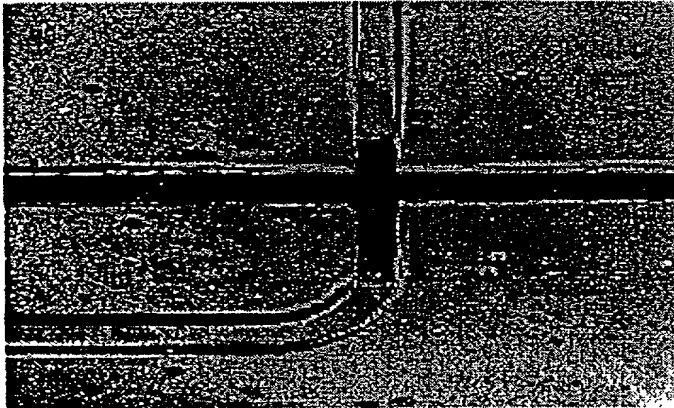


FIG. 3(c)

400220 82960660

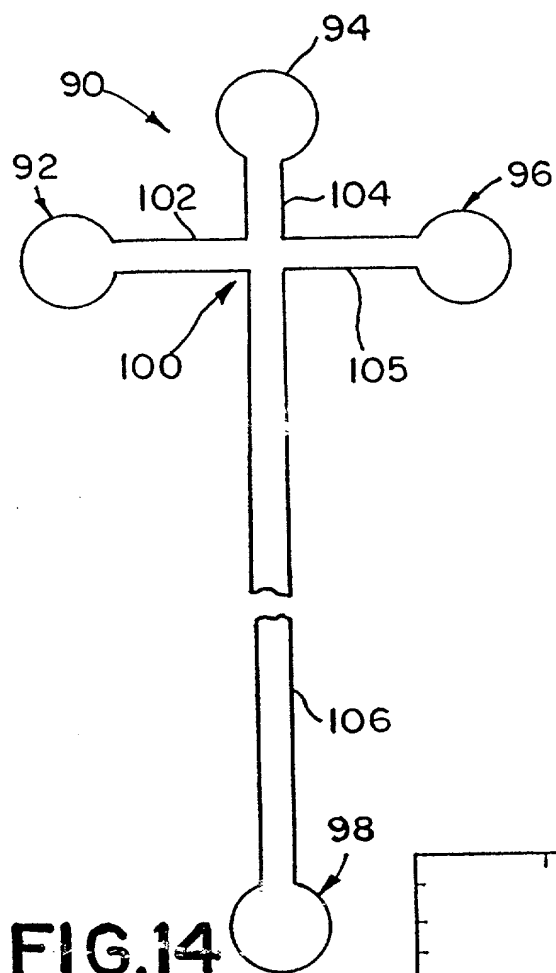


FIG.14

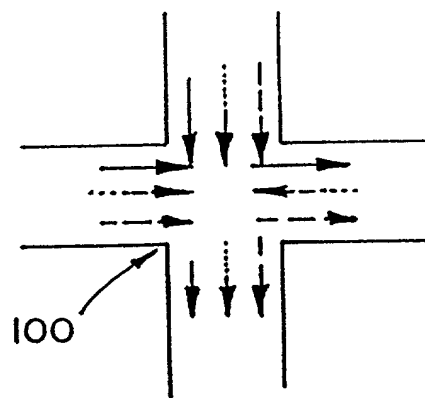


FIG.15

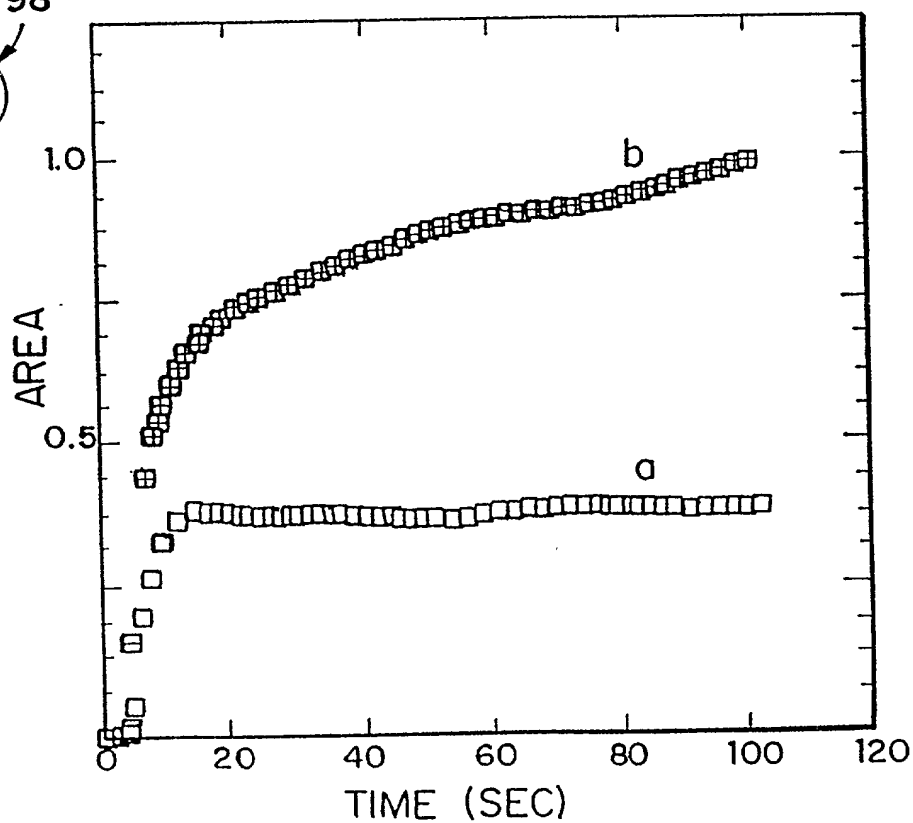


FIG.4

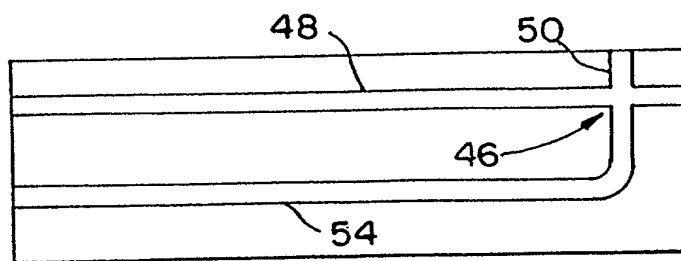
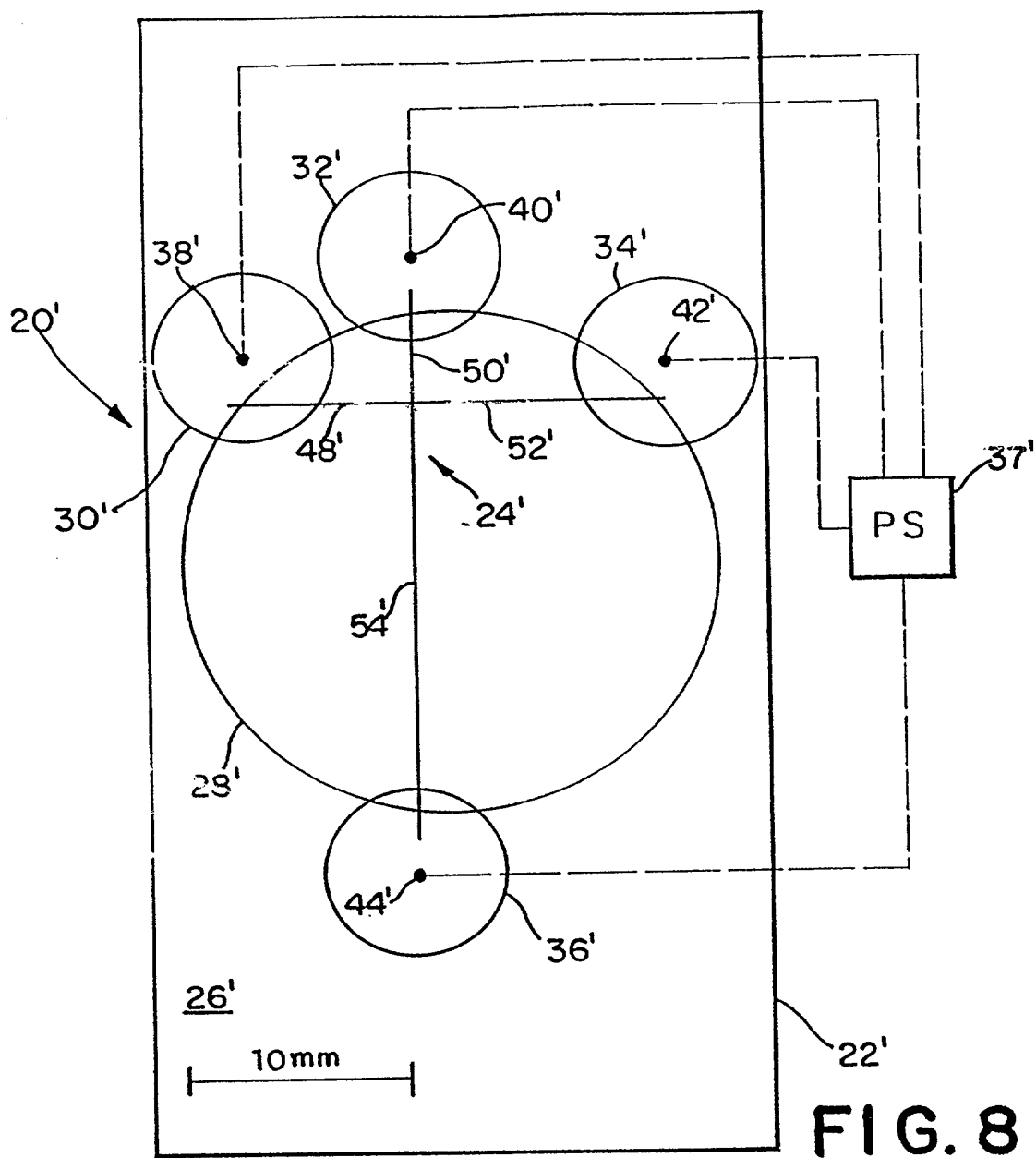


FIG. 5(b)

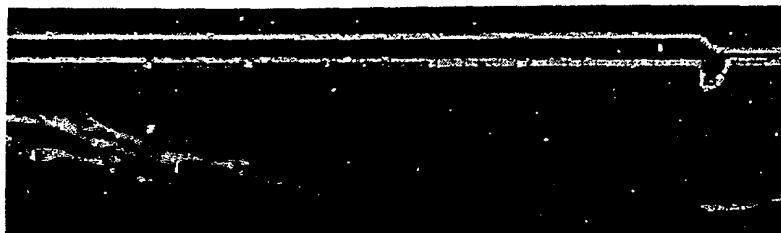


FIG. 5(c)

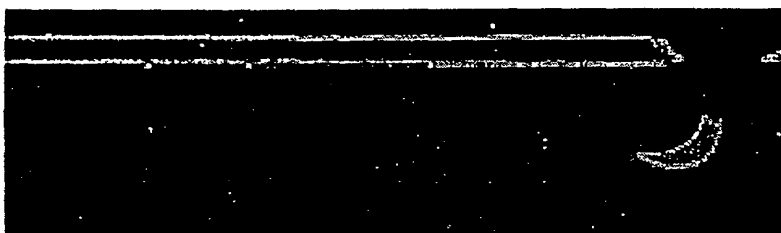


FIG. 5(d)

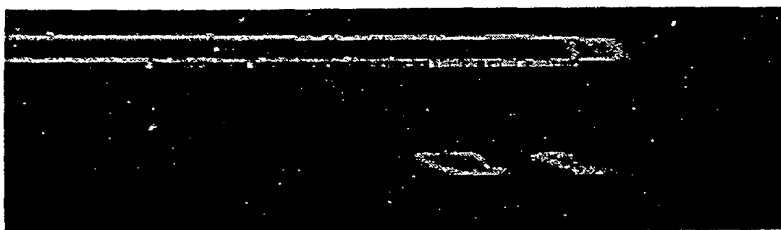
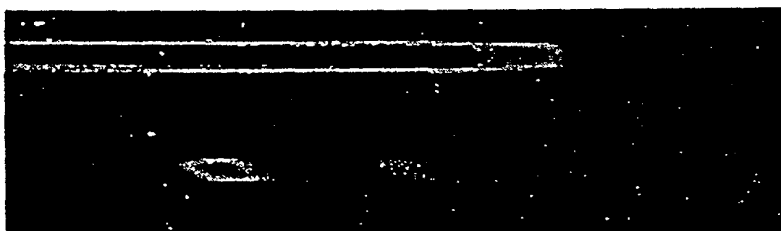


FIG. 5(e)



100220-82350650

FIG. 6

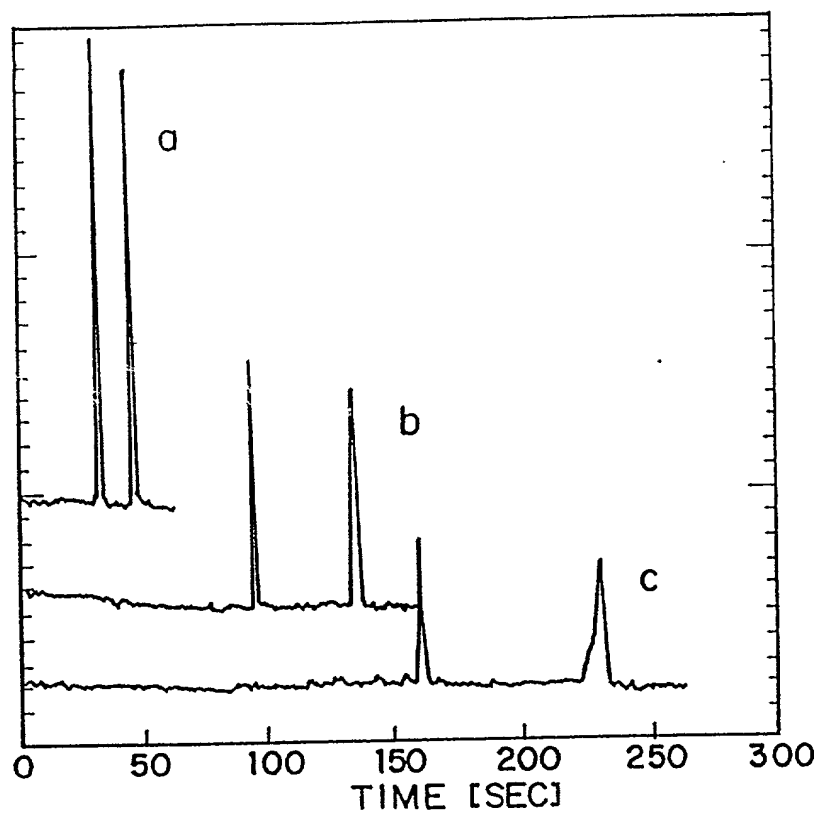
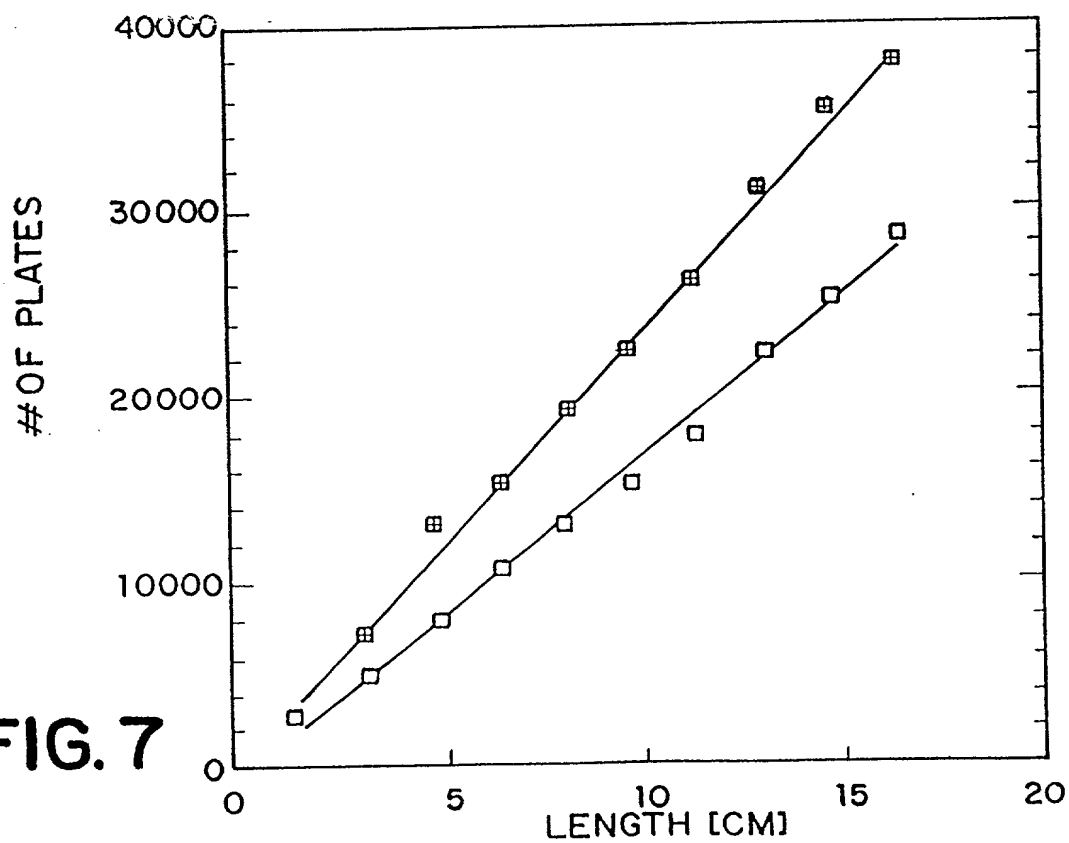


FIG. 7



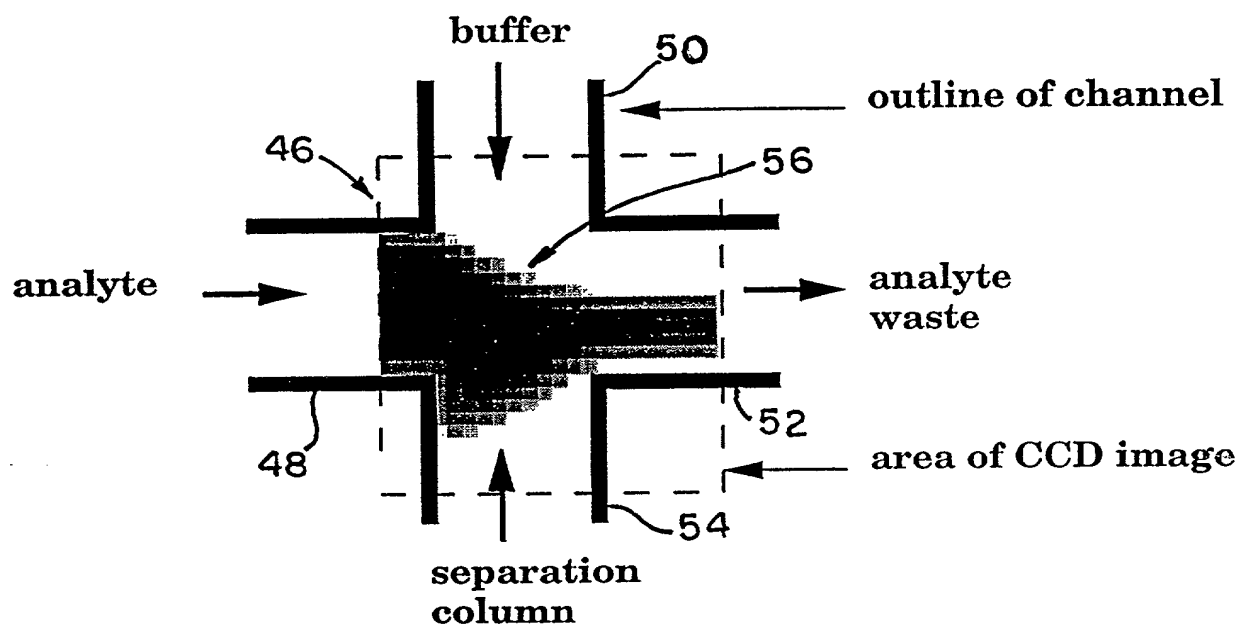


FIG. 9

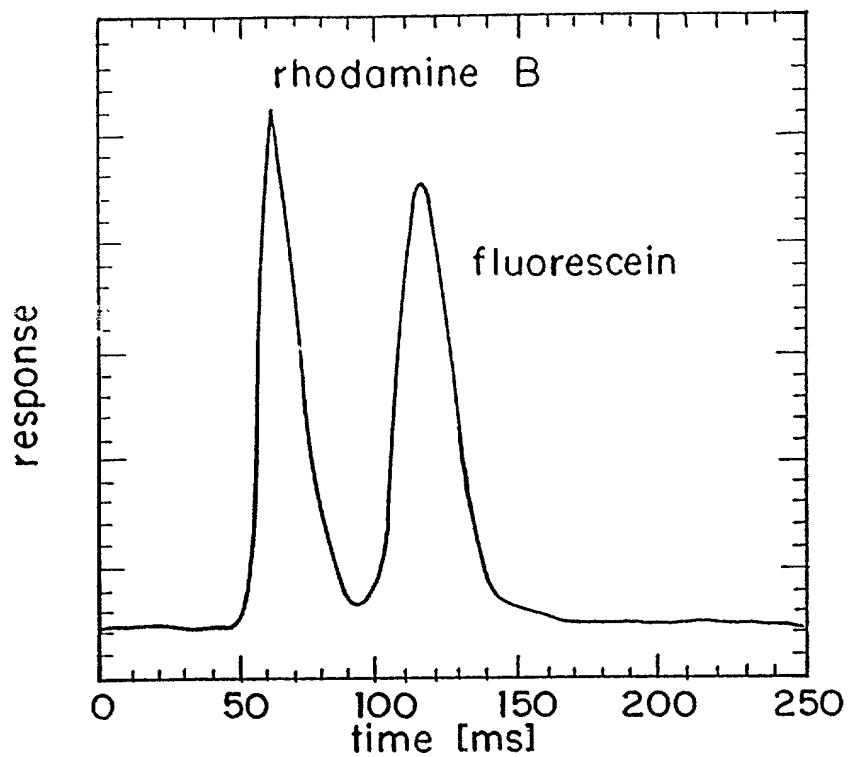


FIG. 10a

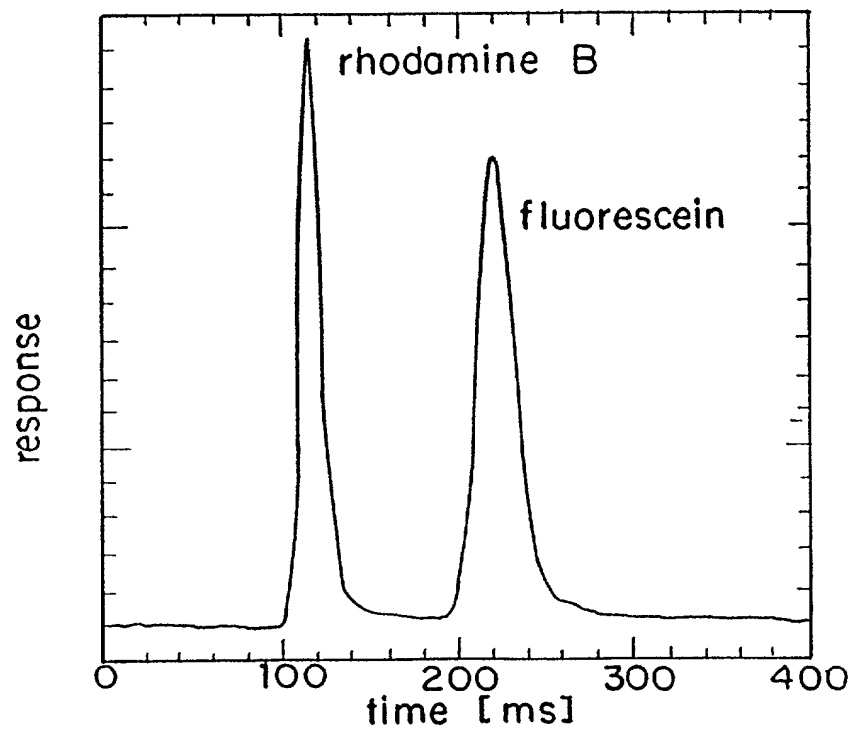


FIG. 10b

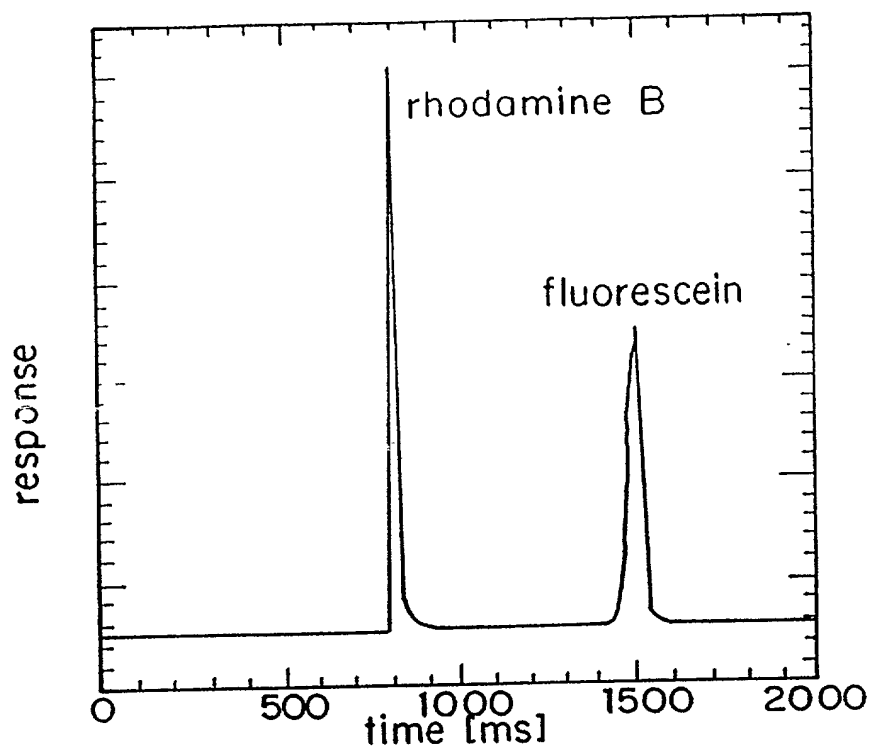


FIG. 10c

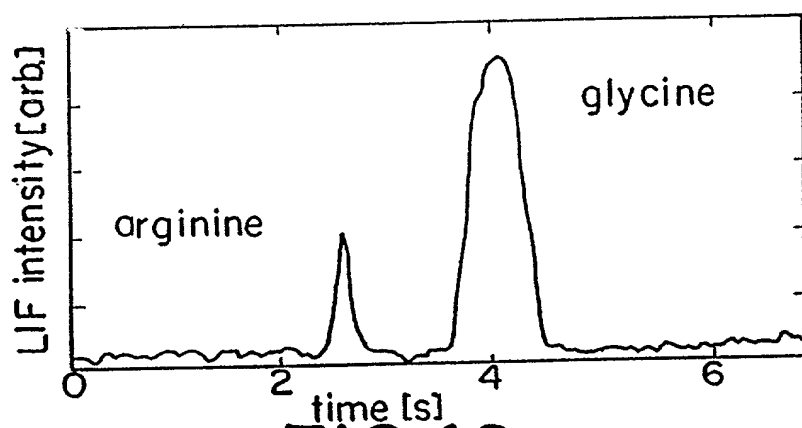


FIG. 19a

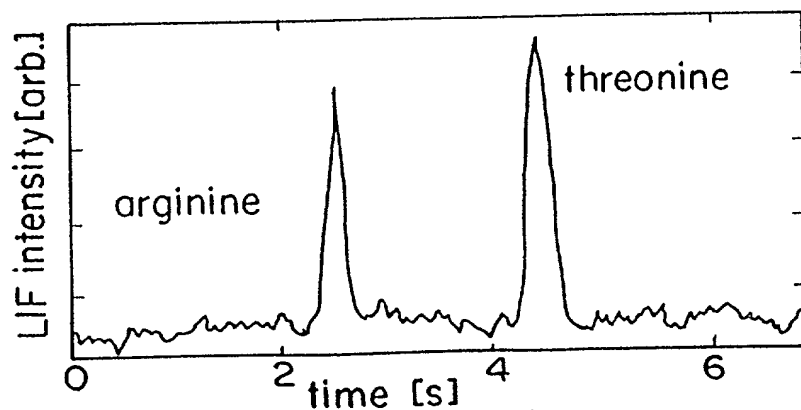


FIG. 19b

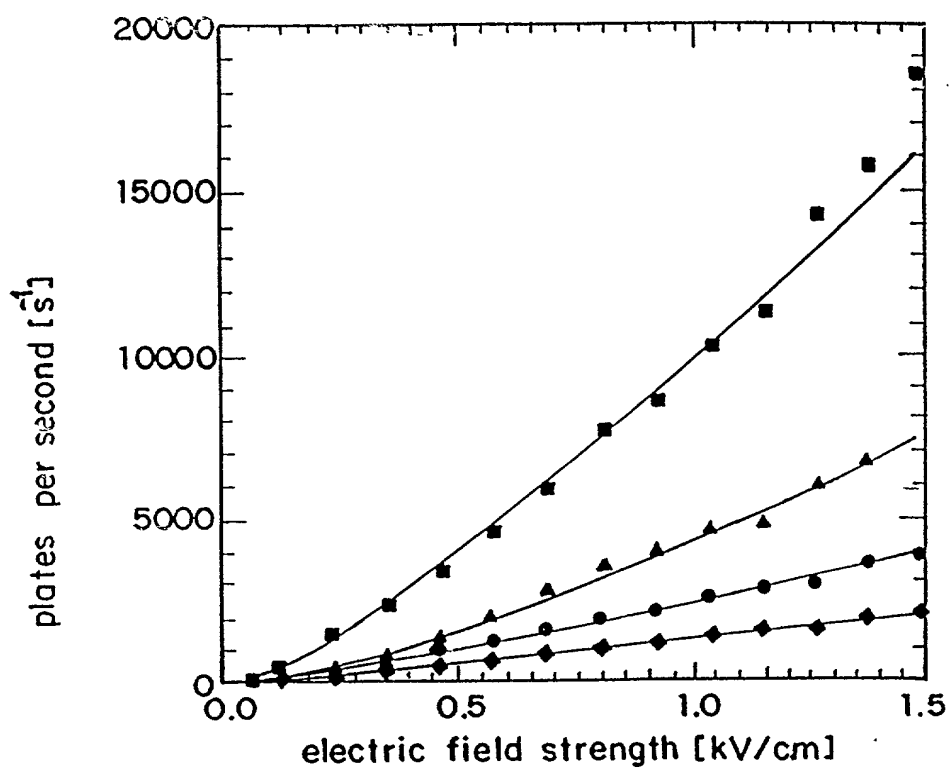


FIG. 11

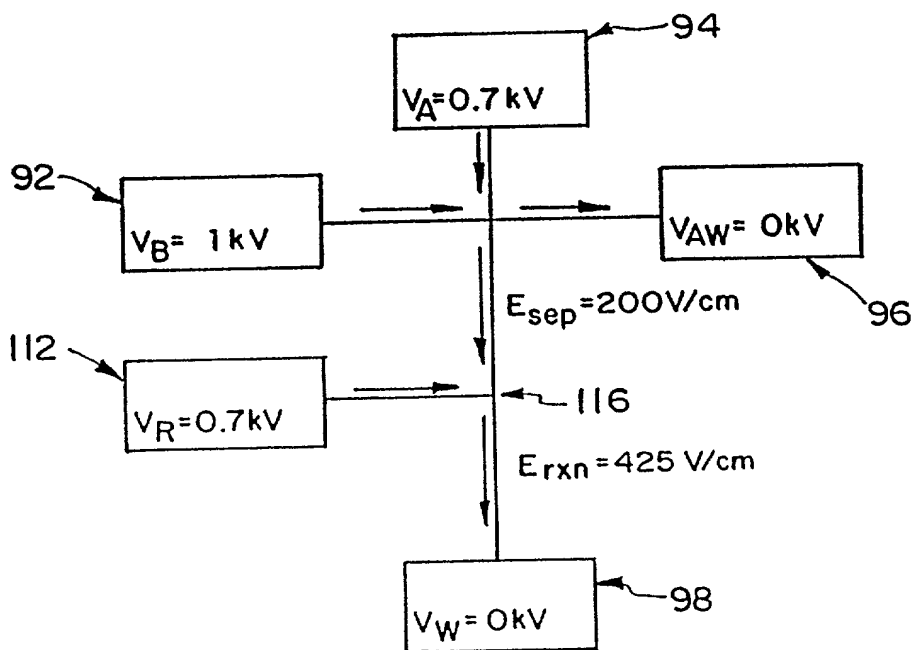
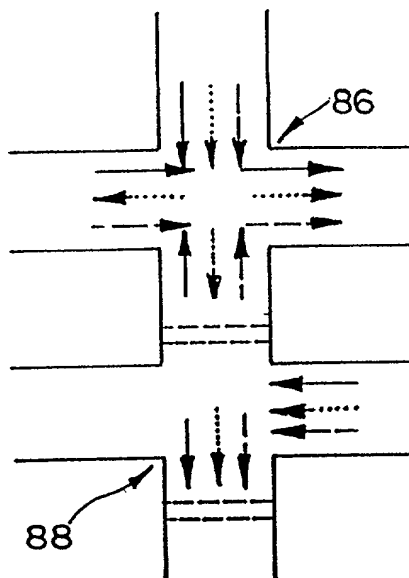
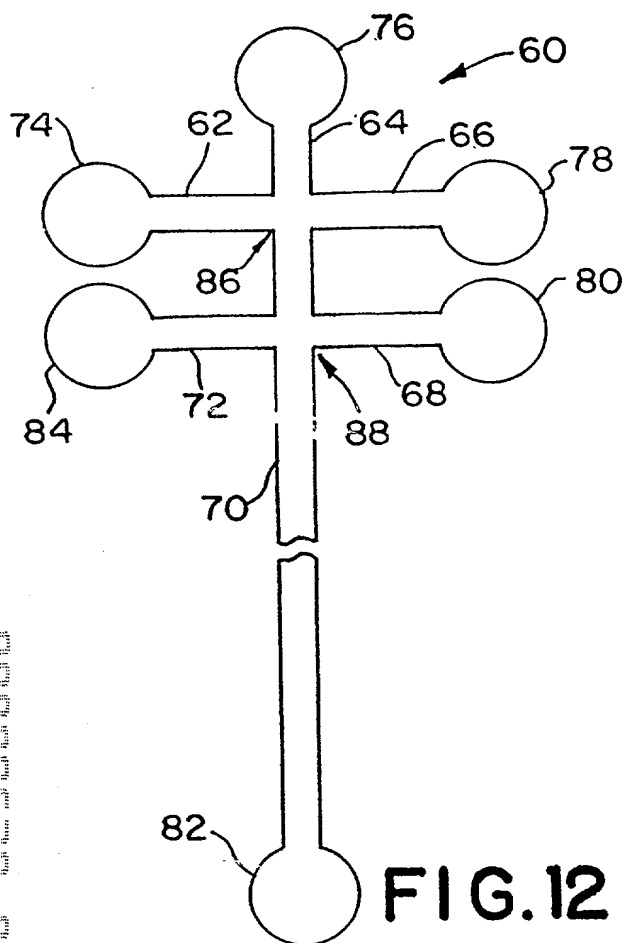


FIG. 18(A)

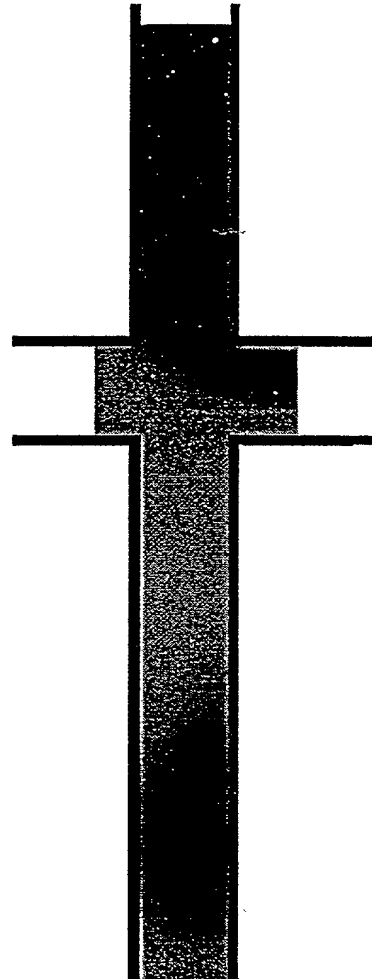
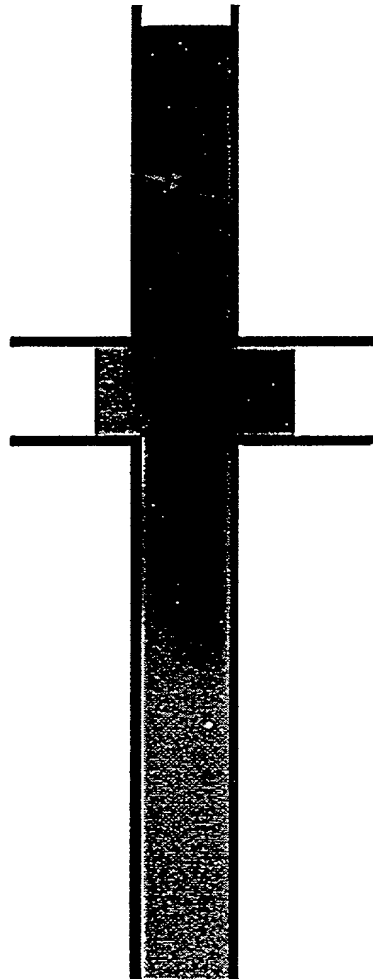
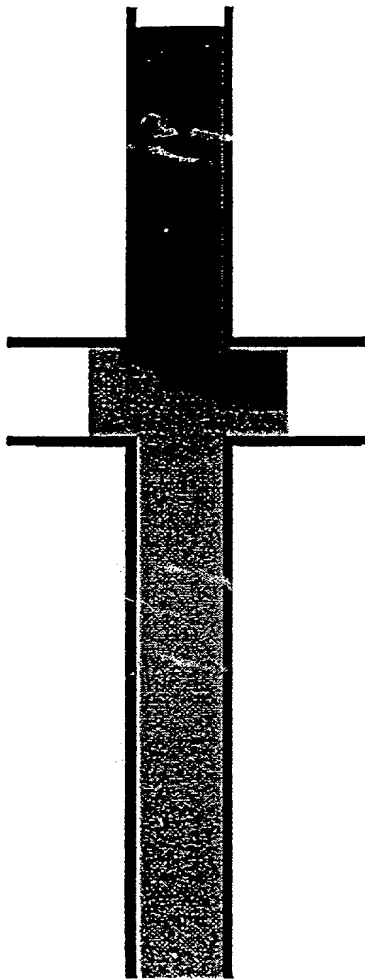


FIG. 18(A)

FIG. 18(B)

FIG. 18(C)

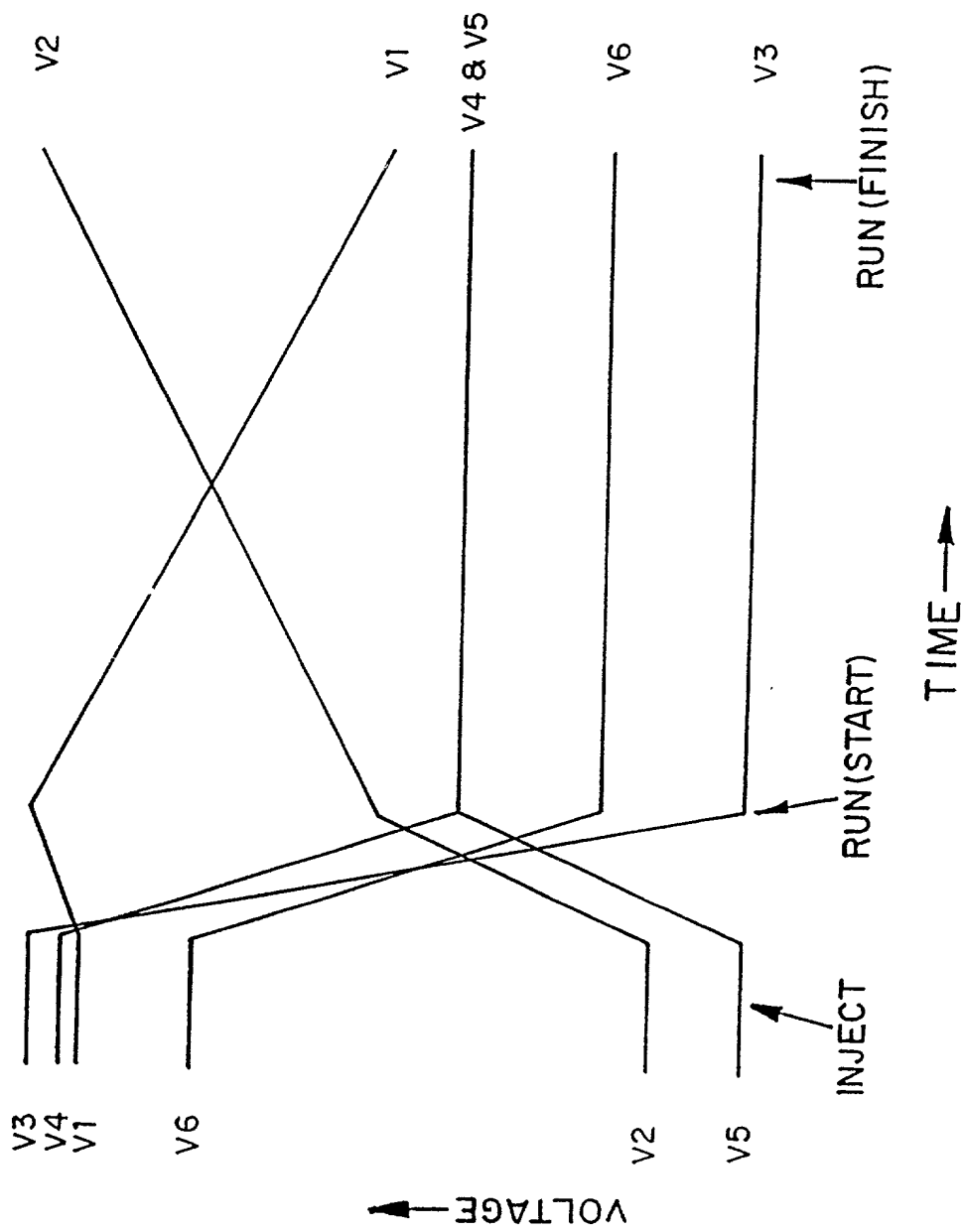


FIG. 22